

ISSN 0136-3603

МИНИСТЕРСТВО ВЫСШЕГО И СРЕДНЕГО  
СПЕЦИАЛЬНОГО ОБРАЗОВАНИЯ СССР

ИЗВЕСТИЯ ВЫСШИХ УЧЕБНЫХ  
ЗАВЕДЕНИЙ

ЭЛЕКТРОМЕХАНИКА

Специальный выпуск

4  
1983

ИЗДАНИЕ НОВОЧЕРКАССКОГО ОРДЕНА ТРУДОВОГО  
КРАСНОГО ЗНАМЕНИ ПОЛИТЕХНИЧЕСКОГО ИНСТИТУТА  
ИМЕНИ СЕРГО ОРДЖОНИКИДЗЕ

УДК 62-529

## СИНТЕЗ ДИСКРЕТНЫХ СИСТЕМ УПРАВЛЕНИЯ ПО МОДУЛЬНОМУ ОПТИМУМУ

*П. Х. Коцегуб, Е. В. Колчев, Ю. В. Губарь, А. В. Светличный*

На основе методики синтеза дискретных систем управления из условий модульного оптимума приводятся соотношения, позволяющие производить выбор параметров цифровых регуляторов в однократно и двукратно-интегрирующей системах. Для различных типов цифровых интеграторов выполнен анализ динамических свойств рассмотренных систем.

**Р**АССМАТРИВАЮТСЯ дискретные системы управления, состоящие из непрерывной части (объекта) и цифровых регуляторов. К анализу и синтезу таких систем в настоящее время проявляется повышенный интерес в связи с широким внедрением для целей управления микроЭВМ. К рассматриваемому классу можно отнести современные цифроаналоговые системы электроприводов. Из всего многообразия методов синтеза дискретных систем рассматривается выбор параметров регуляторов из условиях модульного оптимума, который нашел широкое применение в практике проектирования непрерывных систем подчиненного регулирования [1].

Передаточная функция дискретной замкнутой системы всегда может быть преобразована к виду

$$K^*(z) = k \cdot \bar{K}^*(z),$$

где  $k$  — коэффициент передачи замкнутой системы;

$$\bar{K}^*(z) = \frac{b_0 + b_1 z + b_2 z^2 + \dots + b_m z^m}{a_0 + a_1 z + a_2 z^2 + \dots + a_n z^n} = \frac{\bar{H}(z)}{\bar{G}(z)}; \quad \bar{K}^*(1) = 1.$$

Квадрат модуля амплитудно-частотной характеристики замкнутой системы

$$A^2(\Omega) = K^*(j\Omega) \cdot K^*(-j\Omega) = k^2 \cdot \bar{K}^*(j\Omega) \cdot \bar{K}^*(-j\Omega) = k^2 \bar{M}(\Omega),$$

где  $K(j\Omega) = K(z)_{z=e^{j\Omega T}}$ .

$$\bar{M}(\Omega) = \bar{K}^*(j\Omega) \bar{K}^*(-j\Omega) = \frac{B_0 + 2 \cdot \sum_{i=1}^m B_i \cdot \cos i\Omega T}{A_0 + 2 \cdot \sum_{i=1}^n A_i \cdot \cos i\Omega T} = \frac{N(\Omega)}{R(\Omega)}; \quad (1)$$

$$B_i = \sum_{l=0}^{m-i} b_l \cdot b_{l+i}; \quad A_i = \sum_{l=0}^{n-i} a_l \cdot a_{l+i}; \quad (2)$$

$T$  — период квантования по времени дискретной системы;  $\bar{M}(\Omega)$  — квадрат нормированной амплитудно-частотной характеристики,  $\bar{M}(0) = 1$ .

Так как  $A^2(\Omega)$  с точностью до постоянного множителя совпадает с  $\bar{M}(\Omega)$ , условия оптимизации по модулю амплитудно-частотной характеристики могут быть записаны в виде

$$\bar{M}'(\Omega) \underset{\omega \rightarrow 0}{=} 0; \bar{M}''(\Omega) \underset{\omega \rightarrow 0}{=} 0; \dots; \bar{M}^{(j)}(\Omega) \underset{\omega \rightarrow 0}{=} 0.$$

Эти условия выполняются, если [2]

$$N'(\Omega) \underset{\omega \rightarrow 0}{=} R'(\Omega); N''(\Omega) \underset{\omega \rightarrow 0}{=} R''(\Omega); \dots; N^{(j)}(\Omega) \underset{\omega \rightarrow 0}{=} R^{(j)}(\Omega). \quad (3)$$

С учетом (1) и (3) после вычитания из каждого последующего условия  $j$  оптимизации слагаемых, обращающихся в нуль в силу требований предыдущего условия  $j-1$ , окончательно имеем

$$\sum_{i=j}^m \frac{\prod_{l=0}^{j-1} (i^2 - l^2)}{\prod_{l=0}^{j-1} (j^2 - l^2)} \cdot B_i = \sum_{i=j}^m \frac{\prod_{l=0}^{j-1} (i^2 - l^2)}{\prod_{l=0}^{j-1} (j^2 - l^2)} \cdot A_i, \quad j = 1, 2, \dots \quad (4)$$

Количество последовательно выполняемых условий  $j$  равно количеству варьируемых параметров.

В том случае, когда нормировка передаточной функции не выполнялась, то есть  $K^*(1) \neq 1$ , левую часть уравнений (4) следует умножить на  $\left(\sum_{i=0}^n a_i\right)^2$ , а правую — на  $\left(\sum_{i=0}^m b_i\right)^2$ .

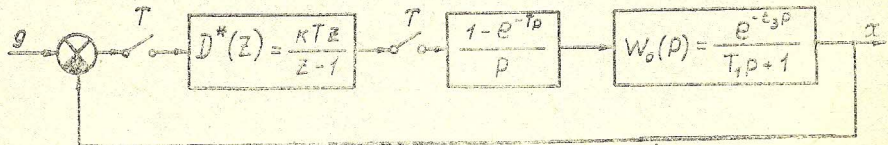


Рис. 1

Рассмотрим особенности синтеза однократно интегрирующей системы, представленной на рис. 1. Она включает дискретный регулятор с передаточной функцией

$$D^*(z) = \frac{k \cdot T \cdot z}{z-1}, \quad (5)$$

экстраполатор нулевого порядка с фиксацией на период  $T$  и объект с передаточной функцией

$$W_o(p) = \frac{e^{-t_3 p}}{T_1 p + 1}. \quad (6)$$

Время запаздывания  $t_3 \ll T$  присуще либо объекту, либо вносится дискретным регулятором при реализации алгоритма интегрирования.

Передаточная функция замкнутой системы [3]

$$K^*(z) = \frac{D^*(z) \frac{z-1}{z^2} \cdot Z_\Delta \left\{ \frac{W_o(p)}{p} \right\}}{1 + D^*(z) \cdot \frac{z-1}{z^2} \cdot Z_\Delta \left\{ \frac{W_o(p)}{p} \right\}} = \frac{b_0 + b_1 z}{a_0 + a_1 z + a_2 z^2}, \quad (7)$$

где

$$b_0 = (d^\Delta - d)kT; \quad b_1 = (1 - d^\Delta)kT; \quad a_0 = (d^\Delta - d)kT + d;$$

$$a_1 = (1 - d^\Delta)kT - (1 + d); \quad a_2 = 1; \quad \Delta = 1 - \frac{t_3}{T};$$

$$d = e^{-\lambda}; \quad \lambda = \frac{T}{T_1}; \quad Z_\Delta — \text{символ модифицированного } z\text{-преобразования.}$$

Определим коэффициент усиления разомкнутой системы  $k$  из условия модульного оптимума. Варьируемый параметр один, поэтому  $j=1$  и требуется выполнение условия ( $K^*(z)=\bar{K}^*(z)$ ,  $m=1, n=2$ )

$$B_1 = A_1 + 4A_2, \quad (8)$$

где  $B_1=b_0b_1$ ;  $A_1=a_0a_1+a_1a_2$ ;  $A_2=a_0a_2$ .

Из последнего уравнения с учетом (7) находим

$$k = \frac{1}{T} \cdot \frac{1-d}{1-d+2 \cdot d^\Delta}.$$

Переходная функция системы при найденном коэффициенте  $k$  имеет вид

$$h(nT) = Z^{-1} \left\{ K^*(z) \cdot \frac{z}{z-1} \right\} = 1 - \frac{1}{\sin \varphi} (\alpha^2 + \beta^2)^{n/2} \cdot \sin(n\theta + \psi),$$

где

$$\alpha = \frac{1}{2}[1+d-(1-d^\Delta) \cdot F(d, \Delta)]; \quad F(d, \Delta) = \frac{1-d}{1-d+2 \cdot d^\Delta};$$

$$\beta = \frac{1}{2}\sqrt{4(d^\Delta - d)F(d, \Delta) + 4d - (1+d)^2 + \dots} \\ \dots + 2(1+d)(1-d^\Delta)F(d, \Delta) - (1-d^\Delta)^2F^2(d, \Delta);$$

$$\theta = \operatorname{arctg} \frac{\beta}{\alpha};$$

$$\psi = \arcsin \frac{\beta[(\alpha-1)^2 + \beta^2]}{\sqrt{(1-\alpha)^2 + \beta^2} \cdot \sqrt{[\alpha^2 + \beta^2 - d + (1-2\alpha+d)\alpha]^2 + (1-2\alpha+d)^2\beta^2}}.$$

Исследование переходной функции показало, что ее максимум  $h_m(nT)=h(n_m T)$  имеет место при

$$n_m = E \left[ \frac{\pi - \varphi_1}{\theta} + 0,99(9) \right],$$

где  $E$  — символ целой части;

$$\varphi_1 = \operatorname{arctg} \frac{\beta}{\alpha^2 + \beta^2 - d} \cdot \frac{\alpha}{\alpha + \frac{1-2\alpha+d}{1-2\alpha+d}}.$$

При этом  $h_m(nT) < 1,05$  при любом значении  $\lambda < 10$  и запаздывании  $t_3 \ll T$ , то есть переходные процессы отличаются малой колебательностью. Время же достижения переходной функцией максимального значения  $h_m(nT)$  растет с увеличением запаздывания. При  $\lambda > 1$  и  $t_3=T$  наблюдается уменьшение быстродействия в 2 и более раз.

При отсутствии запаздывания и  $\lambda < 0,5$  максимум переходной функции достигается при  $n_m \approx E[2\pi/\lambda]$ , а соответствующее время  $n_m T \approx 2\pi T_1$ , которое совпадает с аналогичным выражением для непрерывных систем. Кроме того, при  $\lambda < 0,5-0,6$  величина коэффициента  $k$  с достаточной степенью точности может быть определена из уравнения

$$k \approx \frac{1}{2(T_1 + t_3)}.$$

Формулы для коэффициента усиления  $k$ , найденные для регуляторов, выполняющих интегрирование по другим алгоритмам, приведены в таблице.

Таблица

$D^*(z)$	общая формула	$k$		
		$t_3=0$	$t_3=1 \cdot T$	$T < T_1 (\lambda < 1)$
$\frac{Rfz}{z-1}$	$\frac{1}{T} \frac{1-d}{1-d+2d^A}$	$\frac{1}{T} \frac{1-d}{1+d}$	$\frac{1}{T} \frac{1-d}{3-d}$	$\approx \frac{1}{2(T_1+t_3)}$
$\frac{kT}{z-1}$	$\frac{1}{T} \frac{1-d}{3(1-d)+2d^A}$	$\frac{1}{T} \frac{1-d}{3-d}$	$\frac{1}{T} \frac{1-d}{5-3d}$	$\approx \frac{1}{2(T_1+T+t_3)}$
$\frac{kT(z+1)}{2(z-1)}$	$\frac{1}{T} \frac{1-d}{2(1-d+d^A)}$	$\frac{1}{T} \frac{1-d}{2}$	$\frac{1}{T} \frac{1-d}{2(2-d)}$	$\approx \frac{1}{2(T_1+T/2+t_3)}$

Из формул таблицы видно, что при  $\lambda < 1$  запаздывание в системе может быть учтено увеличением инерционности объекта на величину  $t_3$ . Учет же влияния квантования по времени зависит от типа интегратора.

Выполним расчет параметров двукратно-интегрирующей системы рис. 2, в которой с целью снижения колебательности переходного процесса по управляющему воздействию осуществляется интегральный, а по каналу обратной связи — интегрально-пропорциональный законы регулирования. Варьируемыми параметрами будем считать коэффициенты  $k_1$  и  $k_2$ .

Передаточная функция замкнутой системы

$$K^*(z) = \frac{x(nT)}{g(nT)} = \frac{b_1 z + b_2 z^2}{a_0 + a_1 z + a_2 z^2 + a_3 z^3}, \quad (9)$$

где

$$b_1 = c_1 c_4; \quad b_2 = c_1 c_3; \quad a_0 = -c_4 - d; \quad a_1 = c_1 c_2 - c_3 + 1 + 2d;$$

$$a_2 = c_3 c_2 - 2 - d; \quad a_3 = 1; \quad c_1 = k_2 T; \quad c_2 = c_1 + 1;$$

$$c_3 = k_1 (T - T_1 + d T_1); \quad c_4 = k_1 [(1-d) T_1 - d T]; \quad d = e^{-\lambda}; \quad \lambda = \frac{T}{T_1}.$$

Имеем  $j=2$ ;  $m=2$ ;  $n=3$ ;  $K^*(z) = \bar{K}^*(z)$ . Поэтому условия оптимизации (4) приобретают вид

$$\left. \begin{array}{l} B_1 + 4B_2 = A_1 + 4A_2 + 9A_3; \\ B_2 = A_2 + 6A_3. \end{array} \right\} \quad (10)$$

Совместное решение уравнений (10) с учетом (2) и (9) дает

$$k_1 = \frac{\lambda \left( 4 + 3\lambda - \sqrt{\frac{16\lambda}{1-d} + \lambda^2} \right)}{2T \left( 2 - \lambda \frac{3d-1}{1-d} + \lambda^2 \right)}; \quad k_2 = \frac{k_1}{2 - k_1 T}. \quad (11)$$

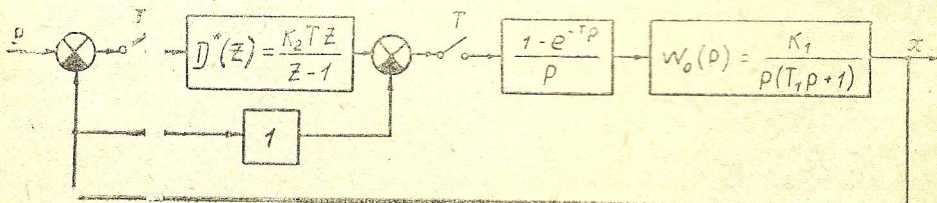


Рис. 2

В том случае, когда интегрирование в системе рис. 2 ведется в соответствии с передаточной функцией

$$D^*(z) = \frac{k_2 T (z+1)}{2(z-1)}, \quad (12)$$

соответственно имеем

$$k_1 = \frac{\lambda^2 + \lambda - 2}{2T} \cdot \sqrt{\frac{\lambda}{1-d}}; \quad k_2 = \frac{k_1}{2}. \quad (13)$$

$$1 - \frac{\lambda d}{1-d} + \frac{1}{4}$$

Следует отметить, что применение интегратора с передаточной функцией  $D^*(z) = \frac{kT}{z-1}$ , очевидно, не оправдано. Работа системы с таким регулятором эквивалентна работе с регулятором (5) и запаздыванием  $t_{\text{з}} = T + t_s$  большим, чем на период. Динамические свойства такой системы могут быть низкими.

Анализ динамики системы рис. 2, выполненный на ЦВМ с использованием метода пространства состояний, свидетельствует о малой колебательности переходного процесса (максимальное значение  $h(nT)$  при любых  $\lambda < 10$  не превышает 1,09). Быстродействие системы при  $\lambda < 2$  практически не зависит от типа интегрирования. При  $\lambda > 2$  несколько более высокое быстродействие обеспечивается при интегрировании в соответствии с передаточной функцией (5).

Например, при  $\lambda = 5$  имеем  $n_m = 4$ ,  $h_m(nT) = 1,074$  и  $n_m = 5$ ,  $h_m(nT) = 1,089$  соответственно при  $D^*(z)$  определяемом из (5) и (12). При малых  $\lambda$  ( $\lambda < 0,5$ ) максимум переходной функции достигается при  $n_m \approx E[10/\lambda]$ .

Анализ выражений (11) и (13) показывает, что при  $\lambda < 10$  параметры системы с достаточной степенью точности определяются из уравнений

$$k_1 = \frac{1}{2(T_1 + 0,5T)}; \quad k_2 = \frac{1}{4T_1 + T} \text{ при } D^*(z) = \frac{k_2 T z}{z-1};$$

$$k_1 = \frac{1}{2(T_1 + 0,377T)}; \quad k_2 = \frac{1}{4(T_1 + 0,377T)} \text{ при } D^*(z) = \frac{k_2 T(z+1)}{2(z-1)}.$$

Если интегрально-пропорциональный закон регулирования осуществляется как по каналу обратной связи, так и по управляющему воздействию, то при настройке системы по уравнениям (11) и (13) колебательность системы возрастает. Максимальное значение  $h(nT)$  возрастает от 1,44 до 1,61 при изменении  $\lambda$  от 0,1 до 10.

В заключение следует отметить, что при синтезе системы, объект которой содержит аналоговый контур регулирования с передаточной функцией

$$W_o(p) = \frac{1}{T_1 p (T_p p + 1) + 1}, \quad T_1 \geqslant 2T_p,$$

в качестве первого приближения можно воспользоваться полученными здесь формулами, заменив контур апериодическим звеном с постоянной времени  $T_1$ .

#### ЛИТЕРАТУРА

- Лебедев Е. Д. и др. Управление вентильными электроприводами постоянного тока.—М.: Энергия, 1970. 199 с.
- Конегуб П. Х., Толочки О. И. Оптимизация систем управления вентильными электроприводами по модулю амплитудно-частотной характеристики.—Электромеханика, 1977, № 6, с. 679—684.
- Бесекерский В. А., Полов Е. П. Теория систем автоматического регулирования.—М.: Наука, 1972. 768 с.